

K2-SLC

P

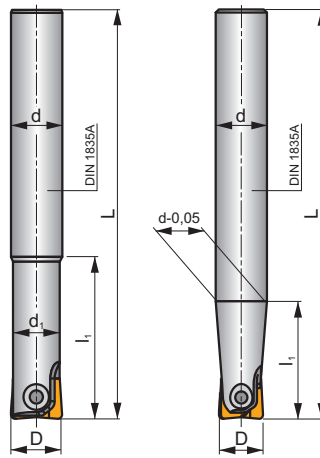
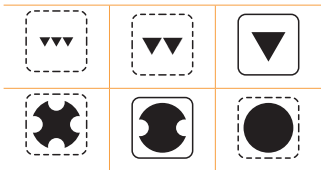
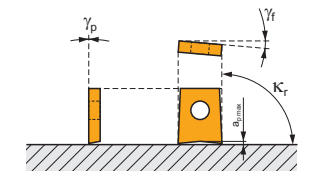
K

H

S



a_{pmax} 1,0 - 3,0 mm



h_{min} 0,03 - 0,10

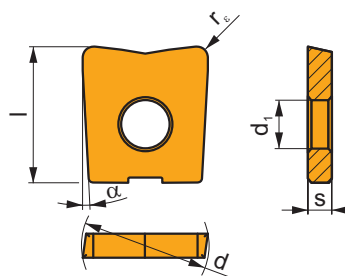
ISO	D	L	d	d ₁	l ₁					kg		
12K2R030A12-SLC12-A	12	130	12	10,5	30	2	-	35000	-	0,11	GI037	C0532
16K2R035A16-SLC16-A	16	140	16	14,0	35	2	-	22000	-	0,20	GI038	C0533
20K2R045A20-SLC20-A	20	160	20	18,0	45	2	-	16000	-	0,38	GI039	C0534

GI037	LC 12-KP	LC 12-KPF
GI038	LC 16-KP	LC 16-KPF
GI039	LC 20-KP	LC 20-KPF

C0532	CS 5009-T20P	5,0	M 5	9	SDR T20P
C0533	CS 5013-T20P	5,0	M 5	13	SDR T20P
C0534	CS 5015-T20P	5,0	M 5	15	SDR T20P

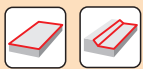
LC

	α°	d	d ₁	l	s
12	7°	12,000	5,00	14,00	2,50
16	7°	16,000	5,00	16,00	3,00
20	7°	20,000	5,00	18,00	3,00



		ISO		P	M	K	N	S	H			r _c	f _{min}	f _{max}	a _{p min}	a _{p max}		
		LC 1210-KP	M4310	█	█	█	█	█	█	█	-	1,0	0,08	0,25	0,1	1,0		
			M8310	█	█	█	█	█	█	█	█	-	1,0	0,08	0,25	0,1	1,0	
			M8330	█	█	█	█	█	█	█	█	█	-	1,0	0,08	0,25	0,1	1,0
		LC 1220-KP	M4310	█	█	█	█	█	█	█	-	2,0	0,08	0,25	0,1	2,0		
			LC 1610-KP	M4310	█	█	█	█	█	█	█	█	-	1,0	0,08	0,30	0,1	1,0
				M8310	█	█	█	█	█	█	█	█	-	1,0	0,08	0,30	0,1	1,0
		LC 1613-KP	M4310	█	█	█	█	█	█	█	-	1,3	0,08	0,30	0,1	1,3		
			M8310	█	█	█	█	█	█	█	█	-	1,3	0,08	0,30	0,1	1,3	
			LC 1630-KP	M4310	█	█	█	█	█	█	█	█	-	3,0	0,08	0,30	0,1	3,0
		LC 2010-KP	M4310	█	█	█	█	█	█	█	█	-	1,0	0,08	0,35	0,1	1,0	
			M8310	█	█	█	█	█	█	█	█	█	-	1,0	0,08	0,35	0,1	1,0
			M8330	█	█	█	█	█	█	█	█	█	-	1,0	0,08	0,35	0,1	1,0
		LC 2016-KP	M4310	█	█	█	█	█	█	█	█	-	1,6	0,08	0,35	0,1	1,6	
			M8310	█	█	█	█	█	█	█	█	█	-	1,6	0,08	0,35	0,1	1,6
			LC 2040-KP	M8330	█	█	█	█	█	█	█	█	-	4,0	0,08	0,35	0,1	4,0
		LC 1210-KPF	M4310	█	█	█	█	█	█	█	█	-	1,0	0,05	0,15	0,1	1,0	
			M8330	█	█	█	█	█	█	█	█	█	-	1,0	0,05	0,15	0,1	1,0
			LC 1613-KPF	M4310	█	█	█	█	█	█	█	█	-	1,3	0,05	0,15	0,1	1,3
		LC 2016-KPF	M4310	█	█	█	█	█	█	█	█	-	1,6	0,05	0,15	0,1	1,6	

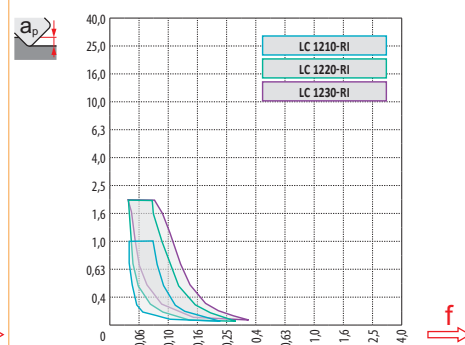
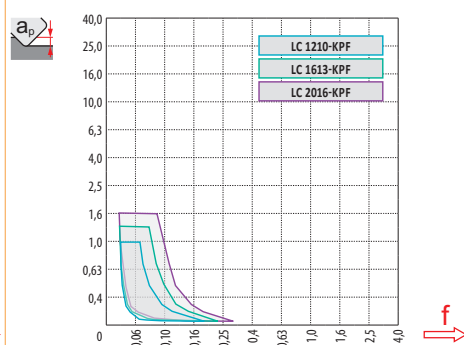
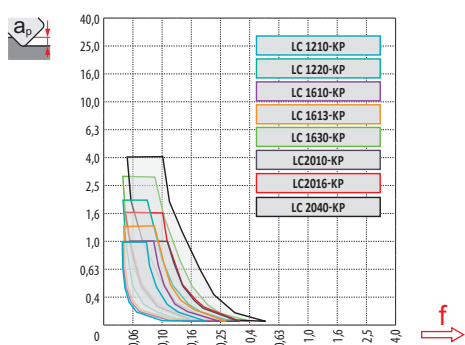
ISO	f_{min}	f_{max}	M4310	M8310	M8330	
P	●	0,05	0,10	264	310	279
		0,10	0,20			
		0,15	0,30			
	●	0,05	0,09	239	281	253
		0,10	0,18			
		0,15	0,27			
	✘	0,05	0,07	213	251	226
		0,10	0,14			
		0,15	0,20			
K	●	0,05	0,10	249	293	264
		0,10	0,20			
		0,15	0,30			
	●	0,05	0,09	228	268	241
		0,10	0,18			
		0,15	0,27			
	✘	0,05	0,07	202	238	214
		0,10	0,14			
		0,15	0,20			
H	●	0,05	0,10	49	60	54
		0,10	0,20			
		0,15	0,30			
	●	0,05	0,09	45	55	50
		0,10	0,18			
		0,15	0,27			
	✘	0,05	0,07	39	47	42
		0,10	0,14			
		0,15	0,20			



a_s/D	0,05	0,10	0,15	0,20	0,25	0,30	0,40	0,50	0,60	0,70	0,75	0,80	0,90	1,00
	1,48	1,35	1,27	1,22	1,19	1,16	1,11	1,08	1,05	1,03	1,00	1,00	1,00	1,00
	2,87	2,05	1,69	1,48	1,33	1,20	0,90	0,70	0,85	0,90	0,89	0,88	0,88	1,00
	0,64	0,64	0,64	0,64	0,64	0,65	0,65	0,67	0,68	0,71	0,72	0,74	0,79	1,00

	LC 12-KP	LC 12-KP	LC 16-KP	LC 16-KP	LC 16-KP	LC 20-KP	LC 20-KP	LC 20-KP
r_f	1,0	2,0	1,0	1,3	3,0	1,0	1,6	4,0
a	-	-	-	-	-	-	-	-

	LC 12-KPF	LC 16-KPF	LC 20-KP	LC 1215-RI	LC 1220-RI	LC 1230-RI
r_f	1,0	1,3	1,6	1,5	2,0	3,0
a	-	-	-	-	-	-



	r_{ϵ}	a_p																
		0,00	0,30	0,40	0,50	0,60	0,70	0,80	0,90	1,00	1,25	1,50	2,00	2,50	3,00	4,00		
LC 1210-KP	12	1,0	10,0	11,4	11,6	11,7	11,8	11,9	12,0	12,0	12,0	-	-	-	-	-	-	
LC 1210-KPF		1,0	10,0	11,4	11,6	11,7	11,8	11,9	12,0	12,0	12,0	-	-	-	-	-	-	
LC 1220-KP	12	2,0	8,0	10,1	10,4	10,6	10,9	11,0	11,2	11,3	11,5	11,7	11,9	12,0	-	-	-	
LC 1210-RI		1,0	10,0	11,4	11,6	11,7	11,8	11,9	12,0	12,0	12,0	-	-	-	-	-	-	
LC 1220-RI	12	2,0	8,0	10,1	10,4	10,6	10,9	11,0	11,2	11,3	11,5	11,7	11,9	12,0	-	-	-	
LC 1230-RI		3,0	6,0	8,6	9,0	9,3	9,6	9,9	10,1	10,3	10,5	10,9	11,2	11,7	11,9	-	-	
LC 1610-KP	16	1,0	14,0	15,4	15,6	15,7	15,8	15,9	16,0	16,0	16,0	-	-	-	-	-	-	
LC 1613-KP		1,3	13,4	15,1	15,3	15,4	15,6	15,7	15,8	15,9	15,9	16,0	-	-	-	-	-	
LC 1613-KPF	16	1,3	13,4	15,1	15,3	15,4	15,6	15,7	15,8	15,9	15,9	16,0	-	-	-	-	-	
LC 1630-KP		3,0	10,0	12,6	13,0	13,3	13,6	13,9	14,1	14,3	14,5	14,9	15,2	15,7	15,9	-	-	
LC 2010-KP	20	1,0	18,0	19,4	19,6	19,7	19,8	19,9	20,0	20,0	20,0	-	-	-	-	-	-	
LC 2016-KP		1,6	16,8	18,7	18,9	19,1	19,3	19,4	19,6	19,7	19,8	19,9	20,0	-	-	-	-	
LC 2016-KPF	20	1,6	16,8	18,7	18,9	19,1	19,3	19,4	19,6	19,7	19,8	19,9	20,0	-	-	-	-	
LC 2040-KP		4,0	12,0	15,0	15,5	15,9	16,2	16,5	16,8	17,1	17,3	17,8	18,2	18,9	19,4	-	-	



D	μm	3	5	10	15	20	30	40	50	60	80	100
12	r_{ϵ}	0,379	0,490	0,693	0,849	0,980	1,200	1,386	1,549	1,697	1,960	2,191
16		0,438	0,566	0,800	0,980	1,131	1,386	1,600	1,789	1,960	2,263	2,530
20		0,490	0,632	0,894	1,095	1,265	1,549	1,789	2,000	2,191	2,530	2,828

r_{ϵ}	μm	3	5	10	15	20	30	40	50	60	80	100
1,3	r_{ϵ}	0,177	0,228	0,322	0,395	0,456	0,559	0,645	0,721	0,790	0,912	1,020
1,6		0,196	0,253	0,358	0,438	0,506	0,620	0,716	0,800	0,876	1,012	1,131
2,0		0,219	0,283	0,400	0,490	0,566	0,693	0,800	0,894	0,980	1,131	1,265
3,0		0,268	0,346	0,490	0,600	0,693	0,849	0,980	1,095	1,200	1,386	1,549
4,0		0,310	0,400	0,566	0,693	0,800	0,980	1,131	1,265	1,386	1,600	1,789



LC 1210-KP	12	1,0	4,8	
LC 1210-KPF		1,0	4,4	
LC 1220-KP		2,0	4,8	
LC 1210-RI		1,0	-	
LC 1220-RI		2,0	-	
LC 1230-RI		3,0	-	
LC 1610-KP		16	1,0	6,6
LC 1613-KP			1,3	6,6
LC 1613-KPF			1,3	5,9
LC 1630-KP			3,0	6,6
LC 2010-KP		20	1,0	8,5
LC 2016-KP			1,6	8,5
LC 2016-KPF	1,6		7,5	
LC 2040-KP	4,0		8,5	



LC 1210-KP	12	1,0	4,7	1,5/19	
LC 1210-KPF		1,0	3,8	1,5/23	
LC 1220-KP		2,0	4,4	2,0/26	
LC 1210-RI		1,0	-	-	
LC 1220-RI		2,0	-	-	
LC 1230-RI		3,0	-	-	
LC 1610-KP		16	1,0	4,8	1,5/18
LC 1613-KP			1,3	4,8	1,5/18
LC 1613-KPF			1,3	3,8	1,5/23
LC 1630-KP			3,0	4,4	3,0/39
LC 2010-KP		20	1,0	5,0	1,5/18
LC 2016-KP			1,6	4,9	1,6/19
LC 2016-KPF	1,6		3,8	1,6/25	
LC 2040-KP	4,0		4,5	4,0/51	



LC 1210-KP	12	1,0	14,1	23,9	1,0	1,2	
LC 1210-KPF		1,0	15,0	23,9	0,4	0,4	
LC 1220-KP		2,0	14,1	23,9	0,3	0,3	
LC 1210-RI		1,0	-	-	-	-	
LC 1220-RI		2,0	-	-	-	-	
LC 1230-RI		3,0	-	-	-	-	
LC 1610-KP		16	1,0	18,6	31,9	1,1	1,4
LC 1613-KP			1,3	18,6	31,9	0,6	0,6
LC 1613-KPF			1,3	19,9	31,9	0,5	0,5
LC 1630-KP			3,0	18,6	31,9	0,4	0,4
LC 2010-KP		20	1,0	22,8	39,9	1,3	1,5
LC 2016-KP			1,6	22,8	39,9	0,8	0,8
LC 2016-KPF	1,6		24,8	39,9	0,7	0,7	
LC 2040-KP	4,0		22,8	39,9	0,5	0,5	



LC 1210-KP	12	1,0	0,44	
LC 1210-KPF		1,0	0,9	
LC 1220-KP		2,0	0,4	
LC 1210-RI		1,0	-	
LC 1220-RI		2,0	-	
LC 1230-RI		3,0	-	
LC 1610-KP		16	1,0	0,65
LC 1613-KP			1,3	0,62
LC 1613-KPF			1,3	0,53
LC 1630-KP			3,0	0,44
LC 2010-KP		20	1,0	0,85
LC 2016-KP			1,6	0,79
LC 2016-KPF	1,6		0,67	
LC 2040-KP	4,0		0,54	

Vyložení (násobky průměru D)

Вылет по отношению к диаметру хвостовика (×D)

Wysięg (wielokrotność średnicy D)

Vyloženie (násobky priemeru D)

<3 3 – 3,5 3,6 – 4 4,1 – 4,5 >4,6

Násobný koeficient pro rychlost

Коэффициент коррекции скорости резания

Współczynnik dla prędkości skrawania

Násobný koeficient pre rýchlosť

1 0,9 0,8 0,7 0,5